

©1995

**ЭКРАНИРОВАНИЕ ПОВЕРХНОСТНЫХ ЗАРЯДОВ  
И ДИПОЛЕЙ НА ГРАНИЦАХ РАЗДЕЛА  
АНИЗОТРОПНЫХ КРИСТАЛЛОВ.  
ЭФФЕКТ «ДАЛЬНОДЕЙСТВИЯ»**

**Э.А.Пашицкий, А.Э.Пашицкий**

Институт физики Академии наук Украины,  
252650, Киев, Украина  
(Поступила в Редакцию 2 февраля 1995 г.)

С помощью метода функций Грина для продольного (кулоновского) поля в слоистых системах анизотропных проводящих сред рассмотрена задача об экранировке поверхностных зарядов и диполей, расположенных неоднородно (периодически) вдоль границ раздела сред. Показано, что в случае достаточно сильной одноосной анизотропии слоистых или цепочечных кристаллов с металлической проводимостью вдоль слоев или цепочек при определенных условиях глубина проникновения электростатических полей в объем кристаллов может значительно превышать как эффективную длину экранирования, так и характерный размер (период) в распределении поверхностных зарядов (диполей). Обсуждается возможное влияние такого эффекта «дальнодействия», возникающего при анизотропном экранировании, на электрополевой эффект в высокотемпературных сверхпроводниках.

Исследования электрополевого эффекта в высокотемпературных сверхпроводниках (ВТСП-материалах) на основе купратных металлооксидных соединений (МОС) со слоистой или слоисто-цепочечной кристаллической структурой [1,2] являются в настоящее время весьма актуальными и направлены на выяснение возможности управления сверхпроводящими (СП) свойствами МОС с помощью электростатических полей [3]. Эта проблема тесно связана с изучением процессов экранирования зарядов в сильно анизотропных проводящих средах вблизи макродефектов (трещин, границ зерен в поликристаллах или гранул в керамиках и т. п.). Так, например, в биокристаллах  $\text{YBa}_2\text{Cu}_3\text{O}_{7-\delta}$  на высокоугловых границах с двойникование наблюдается квазипериодическая сеть скоплений краевых дислокаций несоответствия [4], которые в силу ионности решетки купратных МОС должны нести нескомпенсированные заряды и дипольные моменты.

В настоящей работе с помощью развитого в [5-8] метода функций Грина для продольного (кулоновского) поля в слоистых системах анизотропных проводящих сред рассмотрена задача об экранировке поверхностных зарядов и диполей, расположенных неоднородно (периодически) вдоль границ раздела сред. Показано, что в случае

сильной одноосной анизотропии слоистых или цепочечных кристаллов при определенных условиях глубина проникновения электростатических полей может значительно превышать как эффективную длину экранирования в плоскости слоев или вдоль цепочек, так и характерный размер (период) в распределении поверхностных зарядов (диполей). Такой эффект «дальнодействия» может играть важную роль в ВТСП-материалах, изменяя их СП-свойства (например, критическую температуру СП-перехода  $T_c$  или критический ток  $j_c$ ) в макроскопических объемах в окрестности границ раздела или других дефектов благодаря перераспределению подвижных носителей заряда (электронов, дырок) в электростатических полях.

### 1. Кулоновская функция Грина в слоистых системах анизотропных сред при наличии поверхностных зарядов и диполей на границах раздела

Для описания экранировки зарядов в пространственно ограниченных или слоистых макроскопических системах проводящих сред мы будем использовать развитый в работах [5-8] метод функций Грина самосогласованного продольного (кулоновского) поля. Однако в [5-8] предполагалось, что все среды являются изотропными, и не учитывалось возможное существование на границах раздела сред нескомпенсированных поверхностных зарядов и диполей. Поэтому в качестве граничных условий использовались стандартные условия непрерывности потенциала  $\varphi(\mathbf{r})$  и нормальной составляющей вектора электростатической индукции  $D(\mathbf{r})$ , перпендикулярной плоскости границы  $xy$ .

В данной работе учитывается как сильная анизотропия диэлектрических и экранирующих свойств слоистых и цепочечных кристаллов, так и существование неоднородного (периодического) распределения плотности поверхностных зарядов  $\sigma(x, y)$  и диполей  $P(x, y)$ , когда и нормальная компонента индукции  $D_z$ , и потенциал  $\varphi$  испытывают конечные скачки на границах раздела сред, равные соответственно  $4\pi\sigma$  и  $4\pi P$ .

1) Граница раздела полу бесконечных сред с одиночной анизотропией. Кулоновская функция Грина вблизи границы раздела полу бесконечных сред в плоскости  $z = 0$  при наличии поверхностных зарядов и диполей может быть представлена в объеме одной из сред ( $z > 0$ ) в следующем виде:

$$D_1(\mathbf{k}_\perp, z) = D_1^0(\mathbf{k}_\perp, z) + \Delta D_1^\sigma(\mathbf{k}_\perp, z) + \Delta D_1^P(\mathbf{k}_\perp, z), \quad (1)$$

где  $D_1^0$  — объемная часть функции Грина для одиночного заряда  $e$  в точке  $z$ , равная (см. [6,7])

$$D_1^0(\mathbf{k}_\perp, z) = -4\pi e \left\{ \frac{a_1^2(\mathbf{k}_\perp, z)}{a_1(\mathbf{k}_\perp, 0) + a_2(\mathbf{k}_\perp, 0)} - \frac{1}{2} [a_1(\mathbf{k}_\perp, 2z) + a_1(\mathbf{k}_\perp, 0)] \right\}, \quad (2)$$

$k_\perp = \sqrt{k_x^2 + k_y^2}$ , а  $\Delta D_1^\sigma$  и  $\Delta D_1^P$  — соответственно зарядовая и дипольная части функций Грина, которые имеют вид<sup>1</sup>

$$\Delta D_1^\sigma(\mathbf{k}_\perp, z) = -4\pi\sigma(\mathbf{k}_\perp) \frac{a_1(\mathbf{k}_\perp, z) a_2(\mathbf{k}_\perp, 0)}{a_1(\mathbf{k}_\perp, 0) + a_2(\mathbf{k}_\perp, 0)}, \quad (3)$$

<sup>1</sup> Для изотропных сред аналогичные соотношения были получены в [9].

$$\Delta D_1^P(\mathbf{k}_\perp, z) = -4\pi P(\mathbf{k}_\perp) \frac{a_1(\mathbf{k}_\perp, z)}{a_1(\mathbf{k}_\perp, 0) + a_2(\mathbf{k}_\perp, 0)}. \quad (4)$$

Здесь  $\sigma(\mathbf{k}_\perp)$  и  $P(\mathbf{k}_\perp)$  — фурье-компоненты неоднородного распределения поверхностных зарядов и диполей вдоль границы раздела, а функции  $a_j(\mathbf{k}_\perp, z)$  в частном случае одноосно анизотропных сред при условии, что ось анизотропии перпендикулярна границе раздела, определяются выражениями ( $j = 1, 2$ )

$$a_j(\mathbf{k}_\perp, z) = \frac{1}{\pi} \int_{-\infty}^{\infty} \frac{dk_z e^{ik_z z}}{k_\perp^2 \varepsilon_\perp^{(j)}(\mathbf{k}) + k_z^2 \varepsilon_{||}^{(j)}(\mathbf{k})}, \quad (5)$$

где  $\varepsilon_\perp^{(j)}(\mathbf{k})$  и  $\varepsilon_{||}^{(j)}(\mathbf{k})$  — поперечная (в плоскости  $xy$ ) и продольная (вдоль оси  $z$ ) составляющие тензора диэлектрической проницаемости (ДП) в  $j$ -й среде, а  $k = \sqrt{k_\perp^2 + k_z^2}$ .

Выражение (5) является отражением того факта, что в анизотропном кристалле экранированный кулоновский потенциал в приближении среднего поля имеет вид [10,11]

$$\tilde{V}_C(\mathbf{k}) \equiv \frac{4\pi e^2}{k_l \hat{\varepsilon}_{lm}(\mathbf{k}) k_m} = \frac{4\pi e^2}{k_\perp^2 \varepsilon_\perp(\mathbf{k}) + k_z^2 \varepsilon_{||}(\mathbf{k})}. \quad (5a)$$

Пусть среда 1 в области  $z > 0$  представляет собой анизотропный слоистый или цепочечный металл (полупроводник) с  $\varepsilon_\perp^{(1)}(\mathbf{k}) \neq \varepsilon_{||}^{(1)}(\mathbf{k})$ , а среда 2 в области  $z < 0$  — изотропный диэлектрик с  $\varepsilon_\perp^{(2)} = \varepsilon_{||}^{(2)} = \varepsilon_2 = \text{const}$ .

Для достаточно малых значений  $\mathbf{k}$ , т. е. на масштабах длин, значительно превышающих расстояния между слоями или цепочками, с хорошей точностью можно положить

$$\varepsilon_\perp^{(1)}(\mathbf{k}) = \varepsilon_\perp^0 \left(1 + \frac{\kappa_\perp^2}{k^2}\right), \quad \varepsilon_{||}^{(1)}(\mathbf{k}) = \varepsilon_{||}^0 \left(1 + \frac{\kappa_{||}^2}{k^2}\right), \quad (6)$$

где  $\varepsilon_\perp^0$  и  $\varepsilon_{||}^0$  — поперечная и продольная ДП решетки, а  $\kappa_\perp$  и  $\kappa_{||}$  — соответственно поперечная и продольная обратные длины экранирования в приближении Томаса-Ферми (или Лебая-Хюкеля). Подставляя выражения (6) в (5), получаем

$$a_1(k_\perp, z) = \frac{2}{\pi \varepsilon_{||}^0} \int_0^\infty \frac{(k_z^2 + k_\perp^2) \cos k_z z dk_z}{[k_z^2 + \beta_+^2(k_\perp)][k_z^2 + \beta_-^2(k_\perp)]} = \\ = \frac{1}{\varepsilon_{||}^0 [\beta_+^2(k_\perp) - \beta_-^2(k_\perp)]} \left\{ \frac{e^{-z\beta_+(k_\perp)}}{\beta_+(k_\perp)} \left[ \beta_+^2(k_\perp) - k_\perp^2 \right] - \frac{e^{-z\beta_-(k_\perp)}}{\beta_-(k_\perp)} \left[ \beta_-^2(k_\perp) - k_\perp^2 \right] \right\}, \quad (7)$$

где

$$\beta_\pm^2(k_\perp) = \frac{1}{2} \left[ k_\perp^2 \left( 1 + (\varepsilon_\perp^0 / \varepsilon_{||}^0) \right) + \kappa_{||}^2 \right] \pm \\ \pm \sqrt{\frac{1}{4} \left[ k_\perp^2 \left( 1 + (\varepsilon_\perp^0 / \varepsilon_{||}^0) \right) + \kappa_{||}^2 \right]^2 - k_\perp^2 (\varepsilon_\perp^0 / \varepsilon_{||}^0) (k_\perp^2 + \kappa_\perp^2)}. \quad (8)$$

С другой стороны, для изотропной среды ( $j = 2$ ) находим

$$a_2(k_\perp, z) = \frac{2}{\pi \varepsilon_2} \int_0^\infty \frac{\cos k_z z dk_z}{k_z^2 + k_\perp^2} = \frac{e^{-k_\perp |z|}}{\varepsilon_2 k_\perp}. \quad (9)$$

Выражения (7)–(9) совместно с фурье-компонентами  $\sigma(\mathbf{k}_\perp)$  и  $P(\mathbf{k}_\perp)$  полностью определяют зарядовую и дипольную части кулоновской функции Грина (3) и (4).

2) Трехслойная система сред. Рассмотрим трехслойную систему сред, состоящую из анизотропной пленки толщиной  $L$  с поперечной и продольной ДП вида (6), окруженной с двух сторон полубесконечными средами, которые для простоты будем считать одинаковыми и изотропными с ДП  $\varepsilon_2 = \text{const}$ . В этом случае зарядовая составляющая кулоновской функции Грина внутри пленки (в области  $0 \leq z \leq L$ ) имеет вид

$$\Delta D_\sigma(\mathbf{k}_\perp, z) = -\frac{4\pi a_2(k_\perp, 0)}{B(k_\perp)} \left\{ [\sigma_1(\mathbf{k}_\perp) + \sigma_2(\mathbf{k}_\perp)] a_S(k_\perp, z) \times \right. \\ \left. \times [a_A(k_\perp, 0) + a_2(k_\perp, 0)] + [\sigma_1(\mathbf{k}_\perp) - \sigma_2(\mathbf{k}_\perp)] a_A(k_\perp, z) [a_S(k_\perp, 0) + a_2(k_\perp, 0)] \right\}, \quad (10)$$

где

$$B(k_\perp) = 2[a_S(k_\perp, 0) + a_2(k_\perp, 0)][a_A(k_\perp, 0) + a_2(k_\perp, 0)], \quad (11)$$

$$a_{S,A}(k_\perp, z) = \frac{2}{L} \sum_{k_\parallel^{A,S}} \frac{\cos k_\parallel z}{k_\parallel^2 \varepsilon_\parallel(\mathbf{k}) + k_\perp^2 \varepsilon_\perp(\mathbf{k})}, \quad (12)$$

$$k_\parallel^S(n) = \frac{2n\pi}{L}, \quad k_\parallel^A(n) = \frac{(2n+1)\pi}{L}, \quad n = 0, \pm 1, \pm 2, \dots, \quad (13)$$

$\sigma_1(\mathbf{k}_\perp)$  и  $\sigma_2(\mathbf{k}_\perp)$  — фурье-компоненты плотностей поверхностных зарядов на разных границах раздела (в плоскостях  $z = 0$  и  $z = L$ ),  $\varepsilon_\perp(\mathbf{k})$  и  $\varepsilon_\parallel(\mathbf{k})$  — поперечная и продольная ДП анизотропной проводящей пленки (см. (6)), а функция  $a_2(k_\perp, z)$  определяется выражением (9) для диэлектрических сред (в областях  $z < 0$  и  $z > L$ ).

Подставляя в (12) выражения (6) и выполняя суммирование по симметричным (четным) для  $a_S(k_\perp, z)$  и по антисимметричным (нечетным) для  $a_A(k_\perp, z)$  дискретным продольным волновым числам  $k_\parallel^S(n)$  и  $k_\parallel^A(n)$ , получаем

$$a_S(k_\perp, z) = \frac{1}{\varepsilon_\parallel^0 [\beta_+^2(k_\perp) - \beta_-^2(k_\perp)]} \left\{ \frac{\operatorname{ch} \left[ \left( \frac{L}{2} - z \right) \beta_+(k_\perp) \right]}{\beta_+(k_\perp) \operatorname{sh} \left[ \frac{L}{2} \beta_+(k_\perp) \right]} \times \right. \\ \left. \times [\beta_+^2(k_\perp) - k_\perp^2] - \frac{\operatorname{ch} \left[ \left( \frac{L}{2} - z \right) \beta_-(k_\perp) \right]}{\beta_-(k_\perp) \operatorname{sh} \left[ \frac{L}{2} \beta_-(k_\perp) \right]} [\beta_-^2(k_\perp) - k_\perp^2] \right\}, \quad (14)$$

$$a_A(k_\perp, z) = \frac{1}{\varepsilon_{\parallel}^0 [\beta_+^2(k_\perp) - \beta_-^2(k_\perp)]} \left\{ \frac{\operatorname{sh} \left[ \left( \frac{L}{2} - z \right) \beta_+(k_\perp) \right]}{\beta_+(k_\perp) \operatorname{ch} \left[ \frac{L}{2} \beta_+(k_\perp) \right]} \times \right. \\ \left. \times [\beta_+^2(k_\perp) - k_\perp^2] - \frac{\operatorname{sh} \left[ \left( \frac{L}{2} - z \right) \beta_-(k_\perp) \right]}{\beta_-(k_\perp) \operatorname{ch} \left[ \frac{L}{2} \beta_-(k_\perp) \right]} [\beta_-^2(k_\perp) - k_\perp^2] \right\}. \quad (15)$$

В частном случае одинаково распределенных зарядов на обеих границах пленки  $\sigma_1(\mathbf{k}_\perp) = \sigma_2(\mathbf{k}_\perp) = \sigma(\mathbf{k}_\perp)$  из (10) и (11) следует выражение, аналогичное (3)

$$\Delta D_\sigma(k_\perp, z) = -4\pi\sigma(\mathbf{k}_\perp) \frac{a_S(k_\perp, z) a_2(k_\perp, 0)}{a_S(k_\perp, 0) + a_2(k_\perp, 0)}. \quad (16)$$

В случае поверхностных зарядов противоположного знака  $\sigma_1(\mathbf{k}_\perp) = -\sigma_2(\mathbf{k}_\perp) = \sigma(\mathbf{k}_\perp)$ , когда пленка представляет собой дипольный слой, согласно (10) и (11) получаем

$$\Delta D_\sigma(k_\perp, z) = -4\pi\sigma(\mathbf{k}_\perp) \frac{a_A(k_\perp, 0) a_2(k_\perp, 0)}{a_A(k_\perp, 0) + a_2(k_\perp, 0)}. \quad (17)$$

Из (14), (15) следует, что электростатическое поле поверхностных зарядов хорошо проникает в пленку при условии  $\beta_\pm L \gtrsim 1$ .

3) Бикристалл из разориентированных анизотропных кристаллов. Рассмотрим границу раздела бикристалла, состоящего из двух анизотропных кристаллов, оси симметрии которых образуют между собой некоторый угол.

Такие структуры возникают, например, при выращивании бикристаллов  $\text{YBa}_2\text{Cu}_3\text{O}_{7-\delta}$  в плоскости  $a-b$  [4], анизотропия которой связана с наличием упорядоченных  $1D$ -цепочек  $\text{CuO}$  в направлении оси  $\mathbf{b}$  (при  $\delta \ll 1$ ) наряду с изотропными  $2D$ -слоями  $\text{CuO}_2$ . При этом, как показано в [4], могут возникать также двойникование кристаллов  $\text{YBa}_2\text{Cu}_3\text{O}_{7-\delta}$  с некоторым характерным размером двойниковых доменов  $L_0 \approx 1000 \text{ \AA}$  (вдоль границы раздела) и сгущения краевых дислокаций несоответствия в точках пересечения границ доменов с границей бикристалла с периодом  $2L_0$ . Кроме того, вдоль границы раздела бикристалла существует более густая квазипериодическая сеть дислокаций несоответствия с периодом  $d_0 \approx 100 \text{ \AA}$ . Поскольку кристаллическая решетка купратных МОС обладает достаточно сильной ионной связью, можно ожидать, что скопления и сетки краевых дислокаций несут на себе нескомпенсированные заряды и дипольные моменты.

Полагая, что граница раздела в плоскости  $xy$  расположена вдоль линии  $x = 0$ , а ось  $\mathbf{b}$  в одном из доменов кристалла (в области  $x > 0$ ) составляет угол  $\varphi_0$  с границей, при  $k_z = 0$  получаем следующее выражение для функции  $a_1(k_y, x)$  в этом домене:

$$a_1(k_y, x) = \frac{1}{\pi} \int_{-\infty}^{\infty} \frac{dk_x e^{ik_x x}}{k_x^2 \varepsilon_{xx}(\mathbf{k}) + k_x k_y [\varepsilon_{xy}(\mathbf{k}) + \varepsilon_{yx}(\mathbf{k})] + k_y^2 \varepsilon_{yy}(\mathbf{k})}, \quad (18)$$

где компоненты тензора  $\Delta \Pi$   $\varepsilon_{xx}$ ,  $\varepsilon_{xy}$ ,  $\varepsilon_{yx}$  и  $\varepsilon_{yy}$  выражаются через диагональные компоненты  $\varepsilon_{\parallel}(\mathbf{k})$  и  $\varepsilon_{\perp}(\mathbf{k})$  вдоль и поперек оси  $\mathbf{b}$  соответственно следующим образом:

$$\hat{\varepsilon}_{lm}(\mathbf{k}) = \begin{vmatrix} \varepsilon_{xx}(\mathbf{k}), & \varepsilon_{xy}(\mathbf{k}) \\ \varepsilon_{yx}(\mathbf{k}), & \varepsilon_{yy}(\mathbf{k}) \end{vmatrix} = \begin{vmatrix} \varepsilon_{\perp}(\mathbf{k}) \cos \varphi_0, & \varepsilon_{\perp}(\mathbf{k}) \sin \varphi_0 \\ -\varepsilon_{\parallel}(\mathbf{k}) \sin \varphi_0, & \varepsilon_{\parallel}(\mathbf{k}) \cos \varphi_0 \end{vmatrix}. \quad (19)$$

Компоненты  $k_x$  и  $k_y$  волнового вектора  $\mathbf{k}$ , направленного под углом  $\varphi$  к линии границы  $x = 0$ , связаны между собой соотношением  $k_x = k_y \operatorname{tg} \varphi$ . С учетом этого, а также соотношений (6) и (19) выражение (18) с помощью подстановки  $t = \operatorname{tg} \varphi$  можно привести к виду

$$a_1(k_y, x) = \frac{1}{\pi \varepsilon_{\perp}^0 k_y \cos \varphi_0} \int_{-\infty}^{\infty} dt (t^2 + 1) e^{ik_y x t} \times \times \left\{ (t^2 + 1) \left[ t^2 - (\varepsilon - 1) \operatorname{tg} \varphi_0 t + \varepsilon \right] + \kappa \left[ t^2 - (\varepsilon \nu - 1) \operatorname{tg} \varphi_0 t + \varepsilon \nu \right] \right\}^{-1}, \quad (20)$$

где

$$\varepsilon = \varepsilon_{\parallel}^0 / \varepsilon_{\perp}^0, \quad \nu = \kappa_{\parallel}^2 / \kappa_{\perp}^2, \quad \kappa = \kappa_{\perp}^2 / k_y^2. \quad (21)$$

При  $\varphi_0 = 0$  выражение (20) переходит в (7). В общем случае ( $\varphi_0 \neq 0$ ) полюса подынтегрального выражения определяются корнями уравнения четвертого порядка

$$t^4 - (\varepsilon - 1) \operatorname{tg} \varphi_0 t^3 + (1 + \varepsilon + \kappa) t^2 - [(\varepsilon - 1) + \kappa(\varepsilon \nu - 1)] \operatorname{tg} \varphi_0 t + \varepsilon(1 + \nu \kappa) = 0. \quad (22)$$

В предельном случае  $\kappa_{\perp} \gg k_y$  (т. е.  $\kappa \gg 1$ ) уравнение (22) распадается на два квадратных уравнения, корни которых равны попарно (при  $\varphi_0 \neq \pi/2$ ).

$$t_{1,2} = \frac{1}{2} (\varepsilon - 1) \operatorname{tg} \varphi_0 \pm \sqrt{\frac{1}{4} (\varepsilon - 1)^2 \operatorname{tg}^2 \varphi_0 - \kappa}, \quad (23)$$

$$t_{3,4} = \frac{1}{2} (\varepsilon \nu - 1) \operatorname{tg} \varphi_0 \pm \sqrt{\frac{1}{4} (\varepsilon \nu - 1)^2 \operatorname{tg}^2 \varphi_0 - \varepsilon \nu}. \quad (24)$$

В зависимости от значений параметров  $\varepsilon$ ,  $\nu$  и  $\kappa$  и угла наклона  $\varphi_0$  эти решения могут быть либо вещественными, либо комплексными, что влияет на характер проникновения электростатического поля.

## 2. Глубина проникновения электростатических полей поверхностных зарядов и диполей в анизотропную среду

Распределение электростатического поля поверхностных зарядов (диполей) внутри полубесконечной анизотропной среды 1 определяется выражением

$$V_{\sigma,P}(x, y, z) = \int_{-\infty}^{\infty} dk_x \int_{-\infty}^{\infty} dk_y \Delta D_1^{\sigma,P}(k_{\perp}, z) e^{i(k_x x + k_y y)}. \quad (25)$$

Рассмотрим простую модель периодического распределения поверхностных зарядов или диполей вдоль границы раздела сред ( $z = 0$ ) в виде одномерной синусоидальной волны зарядовой или дипольной плотности (ВЗП или ВДП) с периодом  $d_0$ , распространяющейся вдоль оси  $x$  на фоне однородного поверхностного заряда  $\sigma_0$  или дипольного слоя  $P_0$

$$\sigma(x) = \sigma_0 + \sigma_1 \cos(2\pi x/d_0), \quad (26)$$

$$P(x) = P_0 + P_1 \cos(2\pi x/d_0). \quad (27)$$

Фурье-компоненты таких ВЗП и ВДП имеют вид

$$\sigma(k_x, k_y) = \left[ \sigma_0 \delta(k_x) + \sigma_1 \delta\left(k_x - \frac{2\pi}{d_0}\right) \right] \delta(k_y), \quad (28)$$

$$P(k_x, k_y) = \left[ P_0 \delta(k_x) + P_1 \delta\left(k_x - \frac{2\pi}{d_0}\right) \right] \delta(k_y), \quad (29)$$

где  $\delta(x)$  — дельта-функция. Заметим, что для произвольного периодического распределения зарядов и диполей выражения (26)–(29) следует заменить суммами по фурье-гармоникам с периодами  $d_0/n$  ( $n = 1, 2, 3, \dots$ ).

Подставляя (28) и (29) в (3) и (4), а затем в (25), получим

$$V_\sigma(x, z) = -4\pi\sigma_0 a_1(0, z) - 4\pi\sigma_1 \frac{a_1(k_{0,z}) a_2(k_0, 0)}{a_1(k_0, 0) + a_2(k_0, 0)} \cos k_0 x, \quad (30)$$

$$V_P(x, z) = -4\pi P_1 \frac{a_1(k_0, z)}{a_1(k_0, 0) + a_2(k_0, 0)} \cos k_0 x, \quad (31)$$

где  $k_0 = 2\pi/d_0$ . Заметим, что в дипольном потенциале  $V_P$  отсутствует нулевая (однородная по  $x$ ) компонента, поскольку при  $k_\perp \rightarrow 0$ , согласно (9),  $a_2(k_\perp, 0) \rightarrow \infty$  для диэлектрической среды. В том случае, когда среда 2 является изотропным металлом или легированным полупроводником с ДП типа

$$\varepsilon_2(k) = \varepsilon_2^0(1 + \kappa_2^2/k^2), \quad (32)$$

функция  $a_2(k_\perp, z)$ , согласно (5), принимает вид

$$a_2(k_\perp, z) = \frac{\exp\{-|z|\sqrt{k_\perp^2 + \kappa_2^2}\}}{\varepsilon_2^0 \sqrt{k_\perp^2 + \kappa_2^2}} \quad (33)$$

и остается конечной при  $k_\perp = 0$ . При этом  $V_P$  имеет отличную от нуля однородную компоненту как в среде 1 ( $z > 0$ )

$$V_P^{(1)}(0, z) = -4\pi P_0 \frac{a_1(0, z)}{a_1(0, 0) + a_2(0, 0)}, \quad (34)$$

так и внутри среды 2 ( $z < 0$ )

$$V_P^{(2)}(0, z) = -4\pi P_0 \frac{a_2(0, z)}{a_1(0, 0) + a_2(0, 0)}, \quad (35)$$

которая убывает с ростом  $|z|$ , согласно (7), (8), (30) и (35), по экспоненциальному закону ( $V_P^{(1)} \sim e^{-\kappa_2|z|}$  и  $V_P^{(2)} \sim e^{-\kappa_2|z|}$ ).

Рассмотрим проникновение периодической (закопеременной) составляющей электростатического поля поверхностных зарядов (диполей) в анизотропную среду 1, которая описывается функцией  $a_1(k_0, z)$ . Согласно (8), параметры  $\beta_{\pm}(k_0)$  в зависимости от соотношения между  $k_0$  и длинами анизотропной экранировки  $\kappa_{\perp}$  и  $\kappa_{\parallel}$  могут быть как вещественными, так и комплексными, что соответствует либо монотонному экспоненциально убывающему, либо осциллирующему вдоль оси  $z$  (по затухающему) потенциалу электростатического поля (30) или (31).

1) Анизотропный слоистый кристалл с металлической проводимостью вдоль и поперек слоев. Предположим, что в слоистом кристалле анизотропная проводимость имеет металлический характер (сопротивление растет с повышением температуры  $T$ ) как вдоль, так и поперек слоев, как это имеет место, например, в монокристаллах  $\text{YBa}_2\text{Cu}_3\text{O}_{7-\delta}$  ( $\delta \ll 1$ ), имеющих достаточно сильную анизотропию эффективных масс электронов ( $m_{\perp}^* \ll m_{\parallel}^*$ ). Это соответствует анизотропии макроскоических эффектов экранирования, поскольку в приближении Томаса–Ферми отношение длин экранирования  $\kappa_{\perp}$  и  $\kappa_{\parallel}$  равно

$$\kappa_{\perp}/\kappa_{\parallel} = \left( m_{\perp}^* \varepsilon_{\parallel}^0 / m_{\parallel}^* \varepsilon_{\perp}^0 \right)^{1/2}. \quad (36)$$

Если  $\varepsilon_{\parallel}^0 > \varepsilon_{\perp}^0$ , но  $\varepsilon_{\parallel}^0/\varepsilon_{\perp}^0 \ll m_{\parallel}^*/m_{\perp}^*$ , то  $\kappa_{\parallel}^2 \gg \kappa_{\perp}^2$ , и величины  $\beta_{\pm}^2(k_0)$  вещественны и положительны при любых  $k_0$ . На рисунке, *a* показана зависимость амплитуды закопеременной части потенциалов (30), (31) от  $z$  для вещественных  $\beta_{\pm}(k_0)$ . Для этого случая характерны быстрое (экспоненциальное) затухание поля при малых  $z$  и существование медленно затухающего «хвоста» за счет второго слагаемого в (7), пропорционального  $e^{-z\beta_-}$  с  $\beta_- \ll \beta_+$ . При этом глубина проникновения поля равна

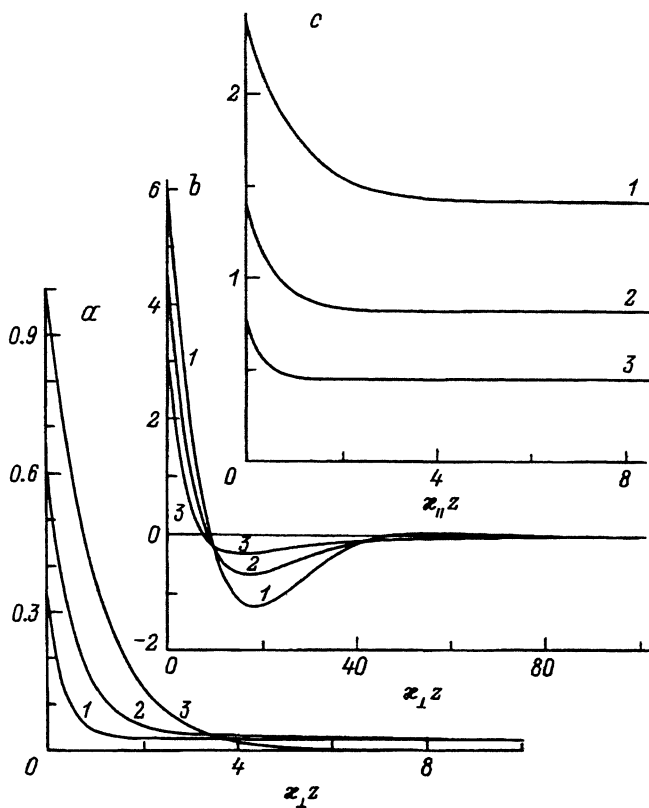
$$\lambda_0 = \frac{d_0}{2\pi} (m_{\parallel}^*/m_{\perp}^*)^{1/2} \quad (37)$$

и при условии  $m_{\parallel}^*/m_{\perp}^* \gg 4\pi^2$  может значительно превышать период  $d_0$  в распределении поверхностных зарядов (диполей). Относительная амплитуда проникающей компоненты поля равна  $(k_0^2 \varepsilon_{\parallel}^0 / \kappa_{\perp}^2 \varepsilon_{\perp}^0)^{1/2}$  и мала при  $k_0 \ll \kappa_{\perp}$ .

Для тонких пленок толщиной  $L$  хорошее проникновение поля обеспечивается при  $\lambda_0 \gtrsim L$ , т. е. при достаточно большом периоде распределения поверхностных зарядов (диполей) на границах пленки

$$d_0 \gtrsim 2\pi L (m_{\perp}^*/m_{\parallel}^*)^{1/2}. \quad (38)$$

2) Слоистый кристалл с квазивумерным электронным спектром. Представляет интерес рассмотрение сильно анизотропного слоистого кристалла с квазивумерным электронным спектром в плоскости слоев и экспоненциально малой вероятностью туннелирования электронов между слоями, когда проводимость вдоль слоев является металлической, а в направлении оси  $z$



Зависимости от  $z$  функции  $a_1(k_0, z)$ , которая определяет амплитуду знакопеременной составляющей электростатического поля периодически распределенных поверхностных зарядов  $\sigma(x)$  и диполей  $P(x)$  на границе раздела анизотропных сред.

*a* — слоистый кристалл с  $\epsilon_{\parallel}^0 = \epsilon_{\perp}^0$  и с металлической проводимостью вдоль и поперек слоев при  $k_0 \equiv 2\pi/d_0 = 0.1\kappa_{\perp}$ . Значения  $\kappa_{\parallel}/\kappa_{\perp}$ : 1 — 10, 2 — 3, 3 — 1 (изотропный металл). *b* — слоистый кристалл с металлической проводимостью в плоскости слоев и полупроводниковые (диэлектрические) свойствами в перпендикулярном слоям направлении при  $\epsilon_{\parallel}^0/\epsilon_{\perp}^0 = 2$  и  $k_0/\kappa_{\perp} = 0.01$ . Значения  $\kappa_{\parallel}/\kappa_{\perp}$ : 1 — 0, 2 — 0.2, 3 — 0.6. *c* — цепочный кристалл с металлической проводимостью вдоль цепочек при  $\epsilon_{\parallel}^0/\epsilon_{\perp}^0 = 0.5$  и  $k_0/\kappa_{\perp} = 0.01$ . Значения  $\kappa_{\parallel}/\kappa_{\perp}$ : 1 — 3, 2 — 10, 3 — 30.

имеет полупроводниковый характер (сопротивление растет с понижением температуры). Тогда экранирование вдоль  $z$  является слабым и  $\kappa_{\parallel} \ll \kappa_{\perp}$ . Такая анизотропия характерна, например, для монокристаллов типа  $\text{Bi}_2\text{Sr}_2\text{Ca}_{n-1}\text{Cu}_n\text{O}_{2n+4}$ , в которых расстояние между одиночными (при  $n = 1$ ) проводящими слоями  $\text{CuO}_2$  или между плотноупакованными «пакетами» из  $n \geq 2$  слоев  $\text{CuO}_2$ , разделенных  $n - 1$  слоями ионов Ca, составляет  $d > 10 \text{ \AA}$ , а отношение продольной (вдоль  $z$ ) и поперечной (в плоскости  $xy$ ) эффективных масс достигает значений  $m_{\parallel}^*/m_{\perp}^* \gtrsim 10^4$  [2].

Полагая для простоты  $\kappa_{\parallel} = 0$ , из (8) получаем

$$\beta_{\pm}^2(k_{\perp}) = \frac{k_{\perp}^2}{2} \left( 1 + \frac{\varepsilon_{\perp}^0}{\varepsilon_{\parallel}^0} \right) \pm \sqrt{\frac{k_{\perp}^4}{4} \left( 1 + \frac{\varepsilon_{\perp}^0}{\varepsilon_{\parallel}^0} \right)^2 - k_{\perp}^2 \frac{\varepsilon_{\perp}^0}{\varepsilon_{\parallel}^0} (k_{\perp}^2 + \kappa_{\perp}^2)}. \quad (39)$$

Отсюда при  $\varepsilon_{\perp}^0 \neq \varepsilon_{\parallel}^0$  следует, что при условии

$$k_{\perp}^2 < \tilde{k}_0^2 \equiv \frac{4\kappa_{\perp}^2 \varepsilon_{\perp}^0 / \varepsilon_{\parallel}^0}{(1 - \varepsilon_{\perp}^0 / \varepsilon_{\parallel}^0)^2}. \quad (40)$$

знак подкоренного выражения в (39) отрицателен, т.е. величины  $\beta_{\pm}^2(k_{\perp})$  являются комплексными. Это соответствует знакопеременному (осциллирующему) характеру проникновения электростатического поля поверхностных зарядов (диполей) вдоль  $z$  с экспоненциальным затуханием амплитуды при условии

$$k_0 \equiv \frac{2\pi}{d_0} < \tilde{k}_0. \quad (41)$$

Заметим, что при  $k_0 = \tilde{k}_0$ , когда

$$\beta_{\pm}^2 \equiv \beta_0^2 = \frac{k_0^2}{2} (1 + \varepsilon_{\perp}^0 / \varepsilon_{\parallel}^0), \quad (42)$$

зависимость амплитуды поля от  $z$  определяется выражением

$$a_1(k_0, z) = \frac{k_0^2 e^{-\beta_0 z}}{4\varepsilon_{\parallel}^0 \beta_0^3} \left[ \left( 2 + \frac{\varepsilon_{\perp}^0}{\varepsilon_{\parallel}^0} \right) + \left( 1 - \frac{\varepsilon_{\perp}^0}{\varepsilon_{\parallel}^0} \right) \beta_0 z \right]. \quad (43)$$

Как видим, при  $\varepsilon_{\perp}^0 > \varepsilon_{\parallel}^0$  функция (43) меняет знак в точке

$$z = z_0 \equiv \frac{\varepsilon_{\perp}^0 + 3\varepsilon_{\parallel}^0}{\beta_0 (\varepsilon_{\perp}^0 - \varepsilon_{\parallel}^0)}. \quad (44)$$

На рисунке, б показаны примеры таких осциллирующих зависимостей потенциала от  $z$  для разных значений параметров.

Следует подчеркнуть, что рассмотренные выше пространственные осцилляции электростатического потенциала обусловлены неоднородным перераспределением экранирующих электронов в знакопеременном поле периодически расположенных поверхностных зарядов (диполей) и не имеют ничего общего с так называемыми фридлевскими осцилляциями [6], которые определяются квантовыми свойствами электронов в металлах.

3) Цепочечный кристалл. Рассмотрим сильно анизотропный цепочечный кристалл с металлической проводимостью вдоль цепочек и полупроводниковыми свойствами в поперечном направлении

( $\kappa_{\parallel} \gg \kappa_{\perp}$ ). Если цепочки направлены перпендикулярно границе раздела сред  $z = 0$ , то при условии  $\kappa_{\perp} = 0$  из (8) следует, что на больших расстояниях  $\beta_- \rightarrow 0$  (при  $k_{\perp} \rightarrow 0$ ), так что второе слагаемое в (7) практически не затухает с ростом  $z$ , т. е. электростатическое поле может проникать на большую глубину, как показано на рисунке, с.

4) Б и к р и с т а л л  $\text{YBa}_2\text{Cu}_3\text{O}_{7-\delta}$ . Как показано в [4], вдоль высокогоугловой границы раздела бикристалла  $\text{YBa}_2\text{Cu}_3\text{O}_{7-\delta}$  возникают почти периодическая система доменов двойникования и сеть краевых дислокаций несоответствия с периодом  $d_0 \approx 100 \text{ \AA}$ . Предполагая, что на таких структурных дефектах ионной решетки имеется периодическое распределение нескомпенсированных зарядов (или диполей), согласно полученным в разделе 1 выражениям (20)–(24), приходим к выводу о том, что полюса подынтегрального выражения (20) должны определять характер проникновения электростатических полей этих зарядов (диполей) в объем кристаллов  $\text{YBa}_2\text{Cu}_3\text{O}_{7-\delta}$ . В частности, если ось  $b$  в одном из типов анизотропных доменов двойникования составляет угол  $\varphi_0$  с границей  $x = 0$ , то при условии

$$\operatorname{tg}^2 \varphi_0 < \frac{4\varepsilon\nu}{(\varepsilon\nu - 1)^2} \quad (45)$$

все корни уравнения (22), согласно (23), (24), будут комплексными. Это означает, что амплитуда знакопеременной части поля, осциллируя, затухает экспоненциально с ростом  $x$  в этих доменах. Если же выполняется условие

$$\frac{4\varepsilon\nu}{(\varepsilon\nu - 1)^2} < \operatorname{tg}^2 \varphi_0 < \frac{4\kappa}{(\varepsilon - 1)^2}, \quad (46)$$

то «малые» корни (24) становятся реальными,<sup>2</sup> что означает появление незатухающих осциллирующих компонент поля  $\sim \sin(k_0 x t_{3,4})$ .

С другой стороны, в доменах второго типа, чередующихся с первыми, ось  $b$  составляет угол  $\varphi_0 + \pi/2$  с границей  $x = 0$ , так что условие появления незатухающих решений в этом случае имеет вид

$$\frac{4\varepsilon\nu}{(\varepsilon\nu - 1)^2} < \operatorname{ctg}^2 \varphi_0 < \frac{4\kappa}{(\varepsilon - 1)^2}. \quad (47)$$

Отсюда следует, что в секторах углов

$$\varphi_0 > \operatorname{arctg} \left( \frac{2\sqrt{\varepsilon\nu}}{\varepsilon\nu - 1} \right) \quad \text{или} \quad \varphi_0 < \operatorname{arctg} \left( \frac{\varepsilon\nu - 1}{2\sqrt{\varepsilon\nu}} \right) \quad (48)$$

глубина проникновения поля является макроскопически большой и сравнимой с продольными размерами доменов ( $L_0 \approx 1000 \text{ \AA}$ ).

В настоящей работе показано, что электростатические поля неоднородно (периодически) распределенных поверхностных зарядов и диполей на границах раздела анизотропных (слоистых или цепочечных)

<sup>2</sup> При  $\operatorname{tg}^2 \varphi_0 > 4\kappa(\varepsilon - 1)^{-2}$  становятся реальными также «большие» корни (23) уравнения (22) с  $\kappa \gg 1$ .

кристаллов могут проникать при определенных условиях в объем кристаллов на макроскопически большую глубину, значительно превышающую характерное расстояние (период) между зарядами, благодаря своеобразному эффекту «дальнодействия» при анизотропной экранировке зарядов. Это может играть важную роль для электрополевого эффекта в высокотемпературных сверхпроводниках [3], обладающих слоистой структурой и сильной анизотропией физических свойств [1,2]. Благодаря преобладающей ионной связи в кристаллической решетке купратных МОС различные структурные дефекты, например скопления краевых дислокаций несоответствия на высокоугловых границах в бикристаллах [4] или на границах зерен (кристаллитов) в поликристаллах и керамиках, могут сопровождаться накоплением нескомпенсированных зарядов и дипольных моментов, что приводит к локальному перераспределению свободных носителей заряда (электронов, дырок) в проникающих на большие расстояния ( $\lambda \gtrsim 1000 \text{ \AA}$ ) электростатических полях и как следствие к изменению СП-свойств ВТСП-материалов (в частности, к понижению  $T_c$  и уменьшению критического тока  $j_c$ ).

С другой стороны, через такие «слабые места» (границы раздела, микротрещины) может происходить более свободное проникновение внешних электрических полей, влияющих на  $T_c$  и  $j_c$ , т. е. усиление электрополевого эффекта.

В заключение выражаем благодарность проф. S.E.Babcock и проф. D.C.Larbalestier за полезные дискуссии и поддержку настоящих исследований, выполненных в Центре прикладной сверхпроводимости Университета штата Висконсин (Мэдисон, США).

Работа проводилась в рамках Программы научно-исследовательского проекта «Кулон», финансируемого Государственным комитетом по науке и технологиям Украины (проект № 2.3/521).

### Список литературы

- [1] Высокотемпературные сверхпроводники / Под ред. Д. Нелсона, М. Уиттнхема и Г. Джорджа. М. (1988).
- [2] Физические свойства высокотемпературных сверхпроводников / Под ред. Д.М. Гинсберга. М. (1991).
- [3] Mannhart J., Bednorz J.G., Frey T. Proc. TU-C2 on the 4th Intern. Conf. M<sup>2</sup>S-HTSC. Grenoble (France) (July 1994). P. 11.
- [4] Babcock S.E., Larbalestier D.C. J. Mater. Res. 5, 919 (1990).
- [5] Романов Ю.А. ЖЭТФ, 47, 2119 (1964).
- [6] Габович А.М., Ильченко Л.Г., Пашицкий Э.А., Романов Ю.А. ЖЭТФ 75, 249 (1978); Surf. Sci. 94, 179 (1980).
- [7] Ильченко Л.Г., Пашицкий Э.А., Романов Ю.А. ФТТ 22, 2700 (1980); Surf. Sci. 121, 375 (1982).
- [8] Ильченко Л.Г., Пашицкий Э.А. ФТТ 25, 1744 (1983).
- [9] Ильченко Л.Г., Саван В.А. Препринт ИТФ АН Украины. Киев (1993).
- [10] Винецкий В.Л., Пашицкий Э.А. ФТТ 25, 1744 (1983).
- [11] Винецкий В.Л., Пашицкий Э.А., Янчук В.А. ЖСХ 27, 181 (1986).